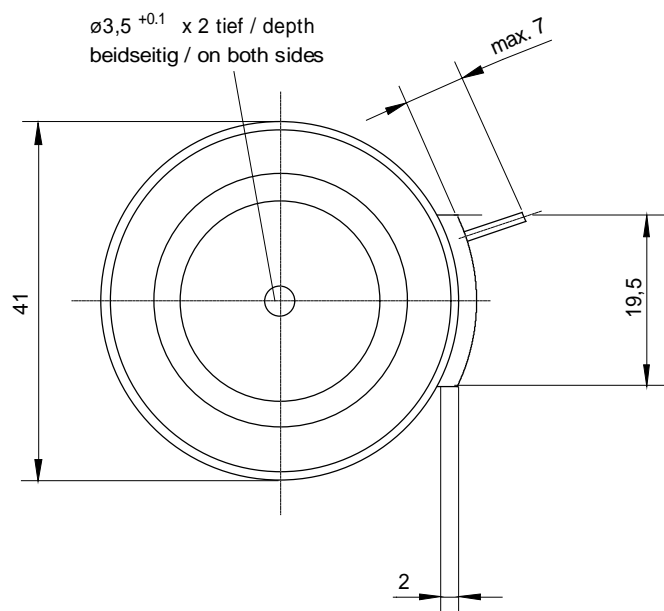
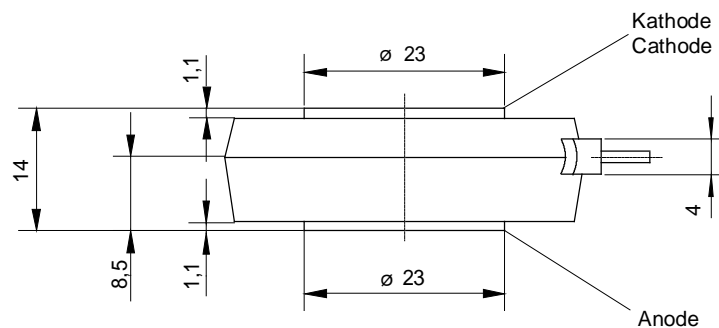


European Power-  
Semiconductor and  
Electronics Company  
GmbH + Co. KG

## Leistungsgleichrichterdioden Power Rectifier Diodes D 758 N

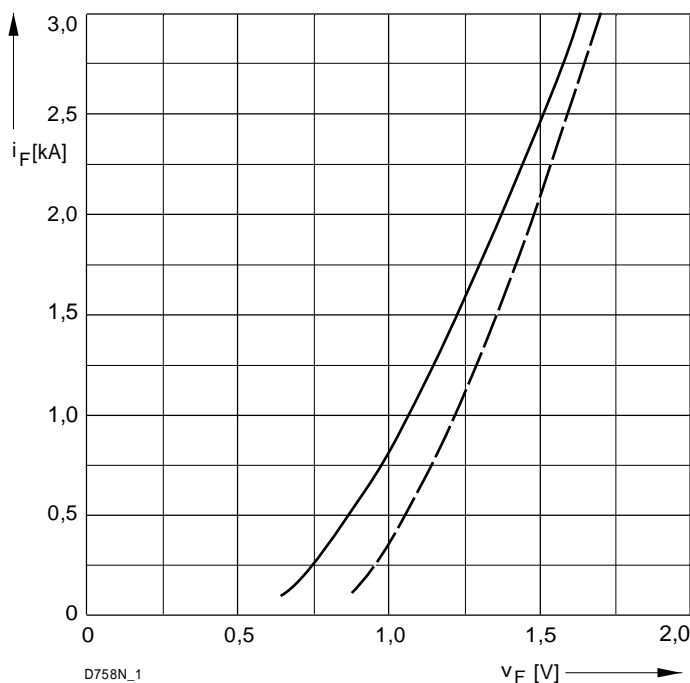


## D 758 N

<b>Elektrische Eigenschaften</b>	<b>Electrical properties</b>					
<b>Höchstzulässige Werte</b>	<b>Maximum rated values</b>					
Periodische Spitzensperrspannung	repetitive peak reverse voltage	$t_{vj} = -40^{\circ}\text{C} \dots t_{vj \max}$	$V_{RRM}$	200, 400	V	
				600, 800 *	V	
Stoßspitzensperrspannung	non-repetitive peak reverse voltage	$t_{vj} = +25^{\circ}\text{C} \dots t_{vj \max}$	$V_{RSM} = V_{RRM}$	+ 50	V	
Durchlaßstrom-Grenzeffektivwert	RMS forward current		$I_{FRMSM}$	1195	A	
Dauergrenzstrom	mean forward current	$t_c = 115^{\circ}\text{C}$ $t_c = 130^{\circ}\text{C}$	$I_{FAVM}$	760	A <sup>1)</sup>	
Stoßstrom-Grenzwert	surge forward current	$t_{vj} = 25^{\circ}\text{C}, t_p = 10 \text{ ms}$ $t_{vj} = t_{vj \max}, t_p = 10 \text{ ms}$	$I_{FSM}$	10,3	kA	
Grenzlastintegral	$I^2 t$ -value	$t_{vj} = 25^{\circ}\text{C}, t_p = 10 \text{ ms}$ $t_{vj} = t_{vj \max}, t_p = 10 \text{ ms}$	$I^2 t$	530,45	$\text{kA}^2 \text{s}$	
				387,2	$\text{kA}^2 \text{s}$	
<b>Charakteristische Werte</b>	<b>Characteristic values</b>					
Durchlaßspannung	on-state voltage	$t_{vj} = t_{vj \max}, i_F = 2,3 \text{ kA}$	$V_T$	max.	1,45	V
Schleusenspannung	threshold voltage	$t_{vj} = t_{vj \max}$	$V_{T(TO)}$		0,70	V
Ersatzwiderstand	slope resistance	$t_{vj} = t_{vj \max}$	$r_T$		0,31	$\text{m}\Omega$
Sperrstrom	reverse current	$t_{vj} = t_{vj \max}, V_R = V_{RRM}$	$i_R$	max.	20	mA
<b>Thermische Eigenschaften</b>	<b>Thermal properties</b>					
Innerer Widerstand	thermal resistance, junction to case	beidseitig/two-sided, $\Theta = 180^{\circ} \text{ sin}$ beidseitig/two sided, DC Anode/anode, $\Theta = 180^{\circ} \text{ sin}$ Anode/anode, DC Kathode/cathode, $\Theta = 180^{\circ} \text{ sin}$ Kathode/cathode, DC	$R_{thJC}$	max.	0,067	$^{\circ}\text{C}/\text{W}$
				max.	0,063	$^{\circ}\text{C}/\text{W}$
				max.	0,104	$^{\circ}\text{C}/\text{W}$
				max.	0,100	$^{\circ}\text{C}/\text{W}$
				max.	0,174	$^{\circ}\text{C}/\text{W}$
				max.	0,170	$^{\circ}\text{C}/\text{W}$
Übergangs-Wärmewiderstand	thermal resistance, case to heatsink	beidseitig /two-sided einseitig /single-sided	$R_{thCK}$	max.	0,015	$^{\circ}\text{C}/\text{W}$
				max.	0,030	$^{\circ}\text{C}/\text{W}$
Höchstzul. Sperrsichttemperatur	max. junction temperature		$t_{vj \max}$		180	$^{\circ}\text{C}$
Betriebstemperatur	operating temperature		$t_{c op}$		-40...+150	$^{\circ}\text{C}$
Lagertemperatur	storage temperature		$t_{stg}$		-40...+150	$^{\circ}\text{C}$
<b>Mechanische Eigenschaften</b>	<b>Mechanical properties</b>					
Si-Element mit Druckkontakt	Si-pellet with pressure contact	$\varnothing = 21 \text{ mm}$				
Anpreßkraft	clamping force	Gehäuseform/case design T	F		3,8...7,6	kN
Gewicht	weight		G	typ.	75	g
Kriechstrecke	creepage distance				25	mm
Feuchteklass	humidity classification	DIN 40040				C
Schwingfestigkeit	vibration resistance	f = 50 Hz			50	$\text{m/s}^2$
Maßbild	outline					Seite/page

\* Bitte Liefertermin erfragen /Delivery on request

# D 758 N



Bild/Fig. 1  
Grenzdurchlaßkennlinie  
Limiting forward characteristic  $i_f(v_f)$   
—  $t_j = 180\text{ }^\circ\text{C}$   
- - -  $t_j = 25\text{ }^\circ\text{C}$

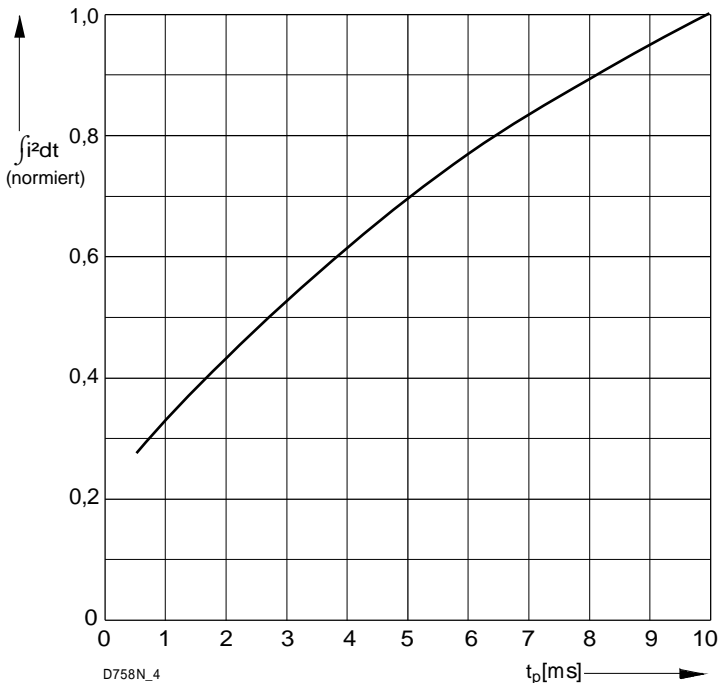


Bild / Fig. 2  
Normiertes Grenzlastintegral / Normalized  $\int i^2 dt = f(t_p)$

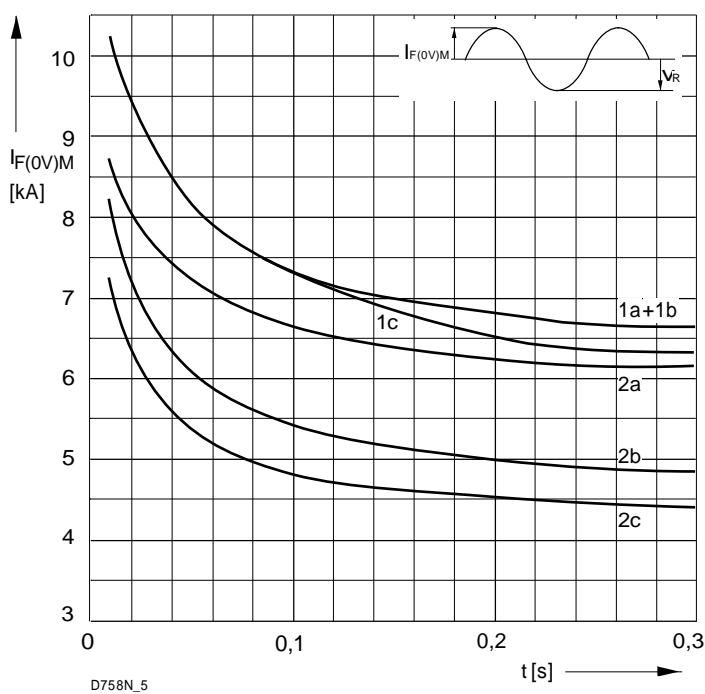


Bild / Fig. 3  
Grenzstrom / Maximum overload forward current  $I_{F(0V)M} = f(t)$   
1 -  $I_{AV(\text{vor})} = 0\text{ A}; t_j = t_c = 25\text{ }^\circ\text{C}$   
2 -  $I_{AV(\text{vor})} = 760\text{ A}; \vartheta = 115\text{ }^\circ\text{C}; t_j = 180\text{ }^\circ\text{C}$   
a -  $V_R \leq 50\text{ V}$   
b -  $V_R = 0,5\text{ }V_{RRM}$   
c -  $V_R = 0,8\text{ }V_{RRM}$

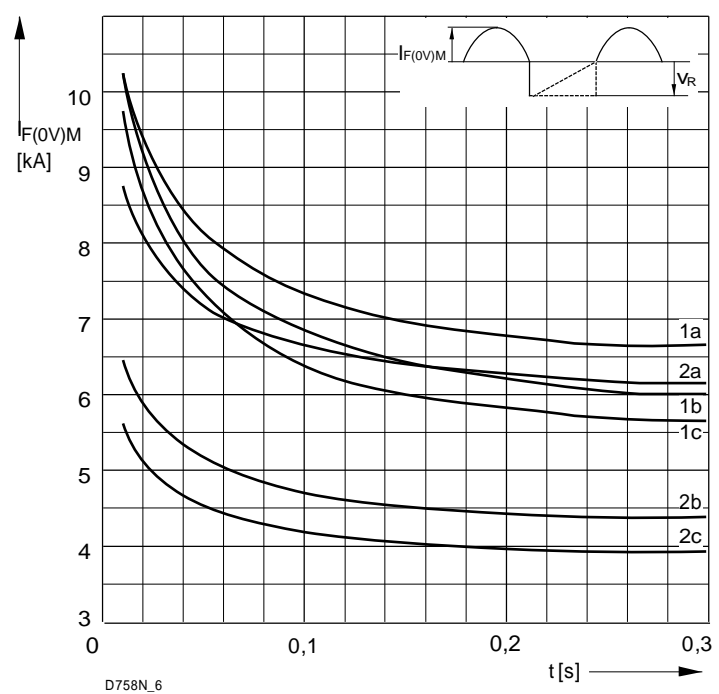


Bild / Fig. 4  
Grenzstrom / Maximum overload forward current  $I_{F(0V)M} = f(t)$   
1 -  $I_{AV(\text{vor})} = 0\text{ A}; t_j = t_c = 25\text{ }^\circ\text{C}$   
2 -  $I_{AV(\text{vor})} = 760\text{ A}; \vartheta = 115\text{ }^\circ\text{C}; t_j = 180\text{ }^\circ\text{C}$   
a -  $V_R \leq 50\text{ V}$   
b -  $V_R = 0,5\text{ }V_{RRM}$   
c -  $V_R = 0,8\text{ }V_{RRM}$

## D 758 N

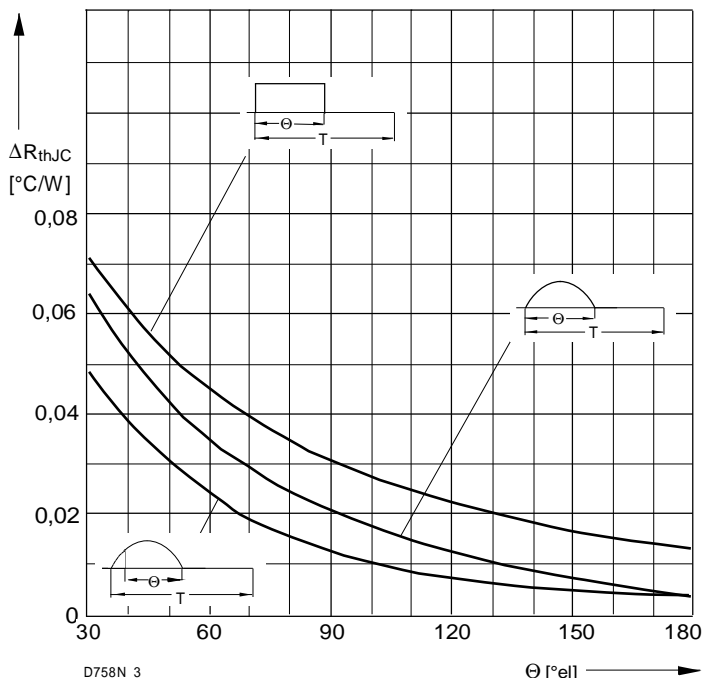


Bild / Fig. 5  
Differenz zwischen den Wärmewiderständen  
für Pulsstrom und DC  
Difference between the values of thermal resistance for  
pulse current and DC  
Parameter: Stromkurvenform / Current waveform

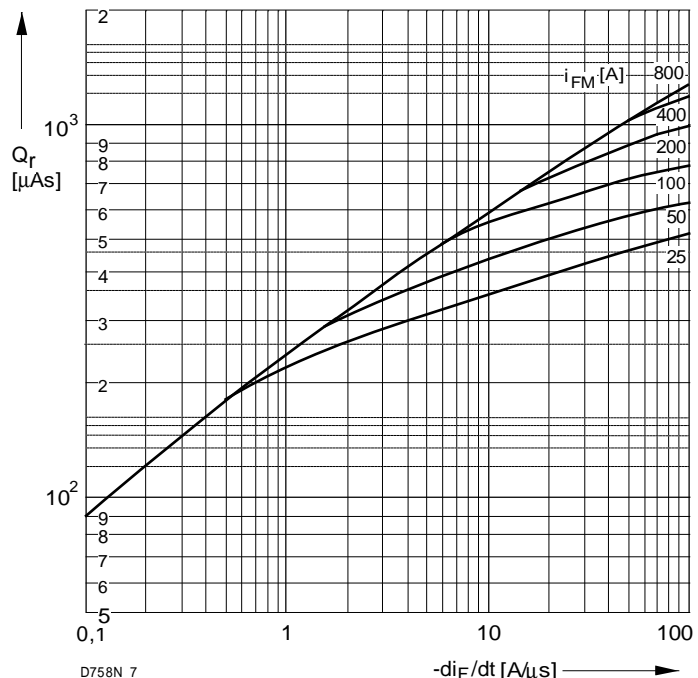


Bild / Fig. 6  
Sperrverzögerungsladung / Recovered charge  $Q_d i_F/dt$   
 $t_{vj} = t_{vjmax}$ ;  $VR < 0,5 VRM$ ;  $VRM = 0,8 VRM$   
Beschaltung / Snubber:  $C = 1 \mu F$ ;  $R = 0,9 \Omega$   
Parameter: Durchlaßstrom / Forward current  $i_F$

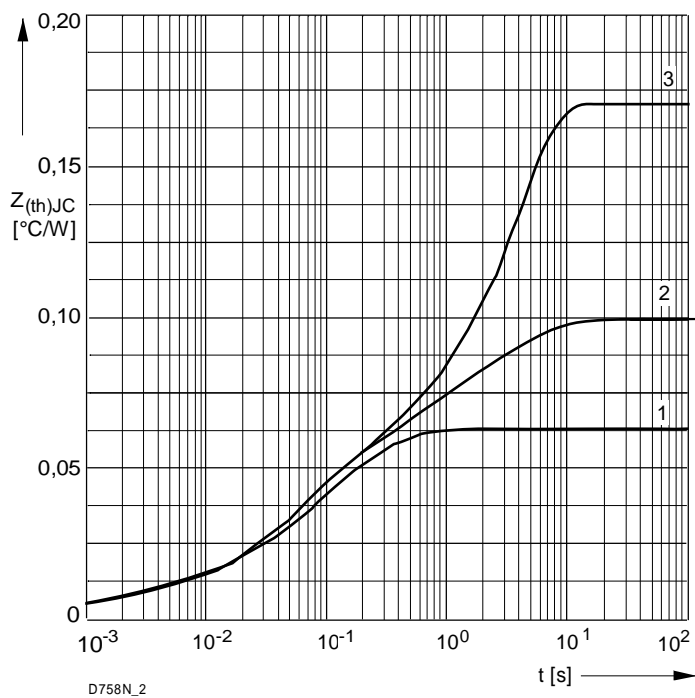


Bild / Fig. 7  
Transienter innerer Wärmewiderstand  
Transient thermal impedance  $Z = f(t)$ , DC  
1 - Beidseitige Kühlung / Two-sided cooling  
2 - Anodenseitige Kühlung / Anode-sided cooling  
3 - Kathodenseitige Kühlung / Cathode-sided cooling

Analytische Elemente des transienten Wärmewiderstandes zur DC  
Analytical elements of transient thermal impedance to DC

Kühlg. Cooling	Pos. n	1	2	3	4	5	6	7
1	$R_{thn} \text{ } ^\circ\text{C/W}$	0,000110	0,00193	0,00751	0,03415	0,0193		
	$\tau_n \text{ [s]}$	0,00002	0,000245	0,00181	0,0569	0,377		
2	$R_{thn} \text{ } ^\circ\text{C/W}$	0,000096	0,0018	0,006464	0,0118	0,03744	0,0213	0,0211
	$\tau_n \text{ [s]}$	0,000017	0,000243	0,0014	0,0278	0,103	1,26	5,2
3	$R_{thn} \text{ } ^\circ\text{C/W}$	0,000048	0,002232	0,00673	0,0387	0,00929	0,113	
	$\tau_n \text{ [s]}$	0,000009	0,00024	0,00172	0,0543	0,556	3,41	

- 1 - Beidseitige Kühlung / Two-sided cooling
- 2 - Anodenseitige Kühlung / Anode-sided cooling
- 3 - Kathodenseitige Kühlung / Cathode-sided cooling

Analytische Funktion / Analytical function

$$Z_{thJC} = \sum_{n=1}^{n_{max}} R_{thn} (1 - \exp(-\frac{t}{\tau_n}))$$